

## بررسی رفتار کششی و سرعت سوختن کامپوزیت هیبریدی الیاف شیشه-شبکه کربن / اپوکسی

کارشناسی ارشد، دانشکده مهندسی و علم مواد دانشگاه صنعتی خواجه نصیرالدین طوسی، تهران، ایران

دانشیار، دانشکده مهندسی و علم مواد، دانشگاه صنعتی خواجه نصیرالدین طوسی، تهران، ایران

حسین ابراهیم نژاد خالجیری

\* رضا اسلامی فارسانی

### چکیده

در این تحقیق اثر هیبرید کردن الیاف شیشه با الیاف شبکه کربن بر خواص کششی و سرعت سوختن کامپوزیت زمینه اپوکسی تقویت شده با این الیاف هیبریدی در مقایسه با کامپوزیت زمینه اپوکسی تقویت شده با الیاف شیشه برسی شد. در این راستا، کامپوزیت های چهار لایه با لایه گذاری های متفاوت از پارچه الیاف شیشه و الیاف شبکه کربن در زمینه رزین اپوکسی با روش لایه گذاری دستی ساخته شدند. هیبرید کردن الیاف شیشه با الیاف شبکه کربن باعث کاهش استحکام کششی و مدول الاستیک کامپوزیت زمینه اپوکسی تقویت شده با این دو نوع الیاف در مقایسه با کامپوزیت تقویت شده با الیاف شیشه شد. اما کرنش شکست این کامپوزیت ها را بهبود داد. همچنین نتایج به دست آمده نشان داد که هر دو عامل کرنش شکست و استحکام کششی نقش مهمی در انرژی جذب شده در کامپوزیت دارند که میزان تأثیرگذاری این دو عامل متناسب با نسبت الیاف شبکه کربن به الیاف شیشه است. نتایج سرعت و سطح مقطع سوختن نیز نشان داد که با افزایش نسبت الیاف شبکه کربن به الیاف شیشه، مقاومت به سوختن کامپوزیت افزایش می یابد.

**واژه های کلیدی:** کامپوزیت اپوکسی / الیاف شیشه، الیاف شبکه کربن، سرعت سوختن، خواص کششی

## Investigation of Tensile and Burning Rate Behavior of Hybrid Glass-Semicarbon Fibers/Epoxy Composite

H. Ebrahimnezhad-Khaljiri

Faculty of Materials Science and Engineering, K. N. Toosi University of Technology, Tehran, Iran

R. Eslami-Farsani

Faculty of Materials Science and Engineering, K. N. Toosi University of Technology, Tehran, Iran.

### Abstract

In this research, the hybridization effect of Semicarbon fibers (SCFs) with glass fibers on tensile properties and burning rate of composites as compared to glass fibers reinforced epoxy matrix composite was investigated. In this regard, four plies composites with different arranging of SCFs and glass fibers were fabricated by hand lay-up method. The hybridization of SCFs with glass fibers was caused reducing tensile strength and elastic modulus of these composites as compared to glass fibers reinforced composite. But the failure strain of these composites was improved. Also, the obtained results showed that both failure strain and tensile strength have important role on energy absorption in composites that the effectiveness of these factors proportionate SCFs and glass fibers ratio. The results of rate and the cross section of burning showed that with increasing SCFs to glass fibers ratio, the flame retardancy of composite increases.

**Keywords:** Glass Fibers/Epoxy Composite; Semicarbon Fibers; Burning Rate; Tensile Properties.

امروزه برای بهبود خواص کامپوزیت های اپوکسی- الیاف شیشه، این الیاف را با الیاف پیشرفته دیگر مانند الیاف کربن، کولار و بازالت هیبریدی می کنند [۱۰-۱۲]. اصطلاح هیبرید کردن در کامپوزیت های هیبریدی، وجود یک زمینه با حداقل دو نوع متفاوت الیاف تقویت کننده را توصیف می کند. این الیاف تقویت کننده در کامپوزیت های هیبریدی زمینه پلیمری به صورت های مختلف ترکیب می شوند (شکل ۱). حالت اول به صورت لایه لایه<sup>۳</sup> است که الیاف با دو جنس متفاوت به صورت لایه لایه، با حالت های مختلف روی هم قرار می گیرند که به علت سادگی، سریع ترین فرآیند ساخت کامپوزیت هیبریدی است (شکل ۱-الف). در حالت دوم، دو الیاف با یکدیگر می بافند<sup>۴</sup> به گونه ای که جنس تار و پود متفاوت است (شکل ۱-ب). در حالت سوم، دو نوع متفاوت لیف با یکدیگر ترکیب می شوند<sup>۵</sup> (شکل ۱-ج). همچنین، نوع

### ۱- مقدمه

با توجه به خواص مکانیکی، پایداری گرمایی بالا و نسبت استحکام به وزن عالی، استفاده از کامپوزیت های اپوکسی تقویت شده با الیاف در کاربردهای مختلف هم چون صنایع هوایی ماسازی و دیگر وسایل نقلیه روبه افزایش است [۱]. در میان انواع مختلف الیاف پیشرفته، الیاف شیشه به علت داشتن خواص مدول بالا و چگالی کم کاربرد وسیعی دارد [۲]. رزین اپوکسی که برای زمینه پلیمری انتخاب شده، خواص مکانیکی و شیمی فیزیک خوبی دارد [۳]. اما اشتعال پذیر است [۴]. برای بهتر کردن خاصیت مقاومت به سوختن<sup>۱</sup> از ترکیبات بور [۵]، فسفر [۶، ۷]، نیتروژن [۸]، سیلیسیم [۹] و گرافن [۱۰] در زمینه اپوکسی توسط محققان استفاده می شود.

2 Hybrid Composite

3 Interlayer

4 Intralayer

5 Intragarn

<sup>1</sup> Flame retardancy

این الیاف ساختار ماکرومولکول شبه کریستالی و آمورف دارد. ساختار شبه کریستال شامل ساختار اصلی کربن به همراه گروههای نیتریل است که به صورت مارپیچی نامنظم، شکل گرفته‌اند. در میان این مارپیچ، حجمی وجود دارد که به صورت آمورف است. وجود کومونومرها<sup>۵</sup> باعث افزایش ناحیه‌ی آمورف می‌شود که کمکی برای شروع واکنش‌های پایدارسازی است [۱۸]. به همین دلیل الیاف اکریلیک دارای ترکیب شیمیایی ۸۵٪ اکریلیک و ۱۵٪ کومونومرها<sup>۶</sup> مانند ایتاکونیک اسید<sup>۷</sup> و متیل اکریلات<sup>۸</sup> هستند [۱۹] که ایتاکونیک اسید باعث می‌شود تا پایدارسازی حرارتی این الیاف در دماهای پایین‌تر انجام شود [۲۰].

پایدارسازی گرمایی در محیط هوا و در محدوده‌ی دمایی  $^{\circ}\text{C}$  ۱۸۰-۳۰۰ انجام می‌شود. در حین پایدارسازی الیاف به ترتیب واکنش‌های اکسیداسیون، حلقه‌ای شدن و دی‌هیدروژنه شدن رخ می‌دهند [۲۱]. اگر دمای پایدارسازی خیلی بالا باشد این الیاف بیش از حد گرما دیده، ذوب و یا حتی بخار می‌شود [۱۷]. بررسی‌های انجام شده نشان داد که عامل خیلی مهم در حین پایدارسازی، انقباض الیاف اکریلیک است که به علت رهاسازی تنش‌های داخلی و تاثیرات الاستیک ماکرومولکول‌های اکریلیک و واکنش‌های حلقه‌ای شدن است. [۲۲].

نتایج بررسی‌ها نشان داد که الیاف شبه کربن مقاومت گرمایی و شاخص حد اکسیژن بالایی<sup>۹</sup> دارد و این ویژگی‌ها باعث می‌شود که در برابر آتش مقاوم باشد [۱۶]. براساس تحقیقات انجام گرفته، تاکنون در زمینه‌ی استفاده‌ی الیاف شبه کربن در کامپوزیت‌های زمینه‌ی اپوکسی تقویت شده با پارچه الیاف شیشه تحقیقاتی صورت نگرفته است. بر این اساس، هدف این تحقیق بررسی اثر الیاف شبه کربن بر خواص کششی و سرعت سوختن کامپوزیت‌های زمینه‌ی اپوکسی تقویت شده با پارچه الیاف شیشه است.

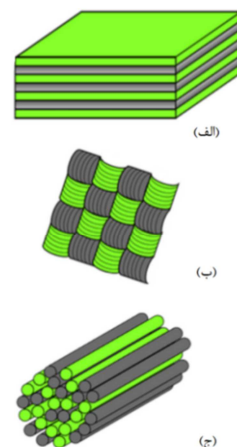
## ۲-بخش تجربی

### ۱-مواد

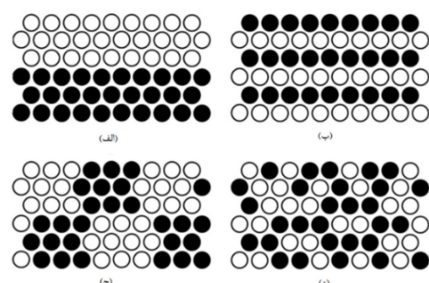
رزین استفاده شده در ساخت کامپوزیت‌ها، رزین اپوکسی بیسفنول F<sup>۱۰</sup>، با نام تجاری (ML 506) و هاردنر پلی‌آمینی<sup>۱۱</sup>، با نام تجاری (HA 11) محصول شرکت مواد مهندسی مکرر است. نسبت رزین به هاردنر، ۱۰۰ به ۱۵ واحد انتخاب شد. پارچه الیاف شیشه با چگالی سطحی  $\text{g/cm}^2$  ۲۰۰ دارای بافت ساده (۰.۹۰) محصول شرکت کام-الیاف<sup>۱۲</sup> کشور ترکیه و الیاف شبه کربن با چگالی خطی ۱/۱۶ dtex دارای سطح مقطع گرد محصول شرکت کورتولز<sup>۱۳</sup> کشور انگلستان نیز در ساخت کامپوزیت‌ها استفاده شد.

دیگری از کامپوزیت‌های هیبریدی وجود دارد که از هیبرید فلز و الیاف به عنوان تقویت کننده تشکیل شده‌اند و به کامپوزیت‌های لایه‌ای الیاف-فلز<sup>۱۴</sup> مشهور هستند [۱۳-۱۵].

براساس مطالعات انجام شده، از مهم‌ترین عوامل در بهبود خواص کامپوزیت‌های هیبریدی، یکنواختی توزیع الیاف است. به گونه‌ای که با افزایش یکنواختی، خواص کامپوزیت‌های هیبریدی بهینه‌تر می‌شود. توزیع متفاوت الیاف در انواع کامپوزیت‌های هیبریدی در شکل ۲ نشان داده شده است. براساس شکل ۲، در کامپوزیت‌های هیبریدی با چیدمان تقویت کننده‌ها به صورت لایه لایه (حالت اول) کمترین یکنواختی دیده می‌شود. در حالی که در کامپوزیت‌های هیبریدی تقویت شده با دو نوع متفاوت لیف که با یکدیگر ترکیب شده‌اند، بیشترین یکنواختی دیده می‌شود [۱۴، ۱۵].



شکل ۱- حالت‌های متفاوت چیدمان الیاف در کامپوزیت‌های هیبریدی [۱۴، ۱۵]



شکل ۲- انواع توزیع الیاف در کامپوزیت‌های هیبریدی؛ الف: دولایه، ب: لایه‌گذاری متناوب، ج: دو الیاف بافت، د: توزیع کاملاً تصادفی [۱۵، ۱۴]

الیاف شبه کربن<sup>۱۵</sup> یا الیاف اکریلیک اکسید شده، از پایدارسازی حرارتی الیاف پلی‌اکریلونیتریل<sup>۱۶</sup> (با نام تجاری اکریلیک) به دست می‌آید. نام دیگر این الیاف، پلی‌اکریلونیتریل اکسید شده<sup>۱۷</sup> است [۱۷، ۱۶].

1 Fiber metal laminate

2 Semi carbon fibers

3 Polycrylonitrile

4 Oxidized polycrylonitrile

5 Comonomer

6 Itaconic acid

7 Methyl acrylate

8 Limited oxygen index

9 Resin epoxy bisphenol F

10 Polyamine hardener

11 Camelyaf

12 Courtaulds

### ۳-۲-تجهیزات

#### ۱-۳-۲-آزمون کشش

آزمون کشش توسط دستگاه Hounsfield H25KS (شکل ۴) با نیروی  $25 \text{ kN}$  و سرعت کشش  $2 \text{ mm/min}$  انجام شد. نمونه‌ها با ابعاد  $250 \times 20 \text{ mm}^2$  براساس استاندارد ASTM D3039 برشیده و سمباذه زنی شدند. از کاغذ سمباذه P80 به عنوان تب<sup>۳</sup> استفاده شد (شکل ۵). طول سنجه<sup>۴</sup> نیز  $100 \text{ mm}$  انتخاب شد. به منظور دقت بیشتر در داده‌ها و توصیه استاندارد ذکر شده، برای هر نمونه کامپوزیتی، آزمون به تعداد ۵ مرتبه انجام شده و میانگین داده‌ها با  $\pm$  درصد انحراف معیار گزارش شد.

هدف از استفاده از تب سمباذه‌ای افزایش اصطکاک بین گیره و نمونه‌های آزمایش و همچنین شکست در ناحیه طول سنجه است. برای شکستن نمونه در طول سنجه کافی است دقت عرض نمونه را توسط سمباذه‌زنی به زیر  $0.3 \text{ mm}$  رساند.



شکل ۴- دستگاه آزمون کشش



شکل ۵- نمونه‌های آزمون کشش با تب سمباذه‌ای

#### ۲-۳-۲-آزمون سوختن افقی<sup>۵</sup>

شکل ۶ نحوه انجام آزمایش سوختن افقی براساس استاندارد UL-94 mm<sup>2</sup> را نشان می‌دهد. در این آزمون نمونه‌ها به ابعاد  $125 \times 12.5 \text{ mm}$  برشیده شدند. بر روی نمونه‌ها در فاصله‌های  $25 \text{ mm}$  و  $50 \text{ mm}$  دلaminations ایجاد شدند.

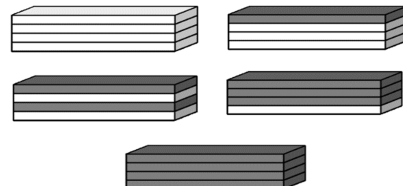
### ۲-۲-آماده سازی و ساخت کامپوزیت‌ها

کامپوزیت‌ها به صورت ۴ لایه با چیدمان‌های متفاوت (شکل ۳) با ابعاد  $25 \times 30 \text{ cm}^2$  توسط روش لایه-گذاری دستی با زمان پخت ۲۴ ساعت در دمای محیط ساخته شدند. با توجه به مطالعات انجام شده، به منظور انتخاب چیدمان مناسب در گام نخست، دو نوع کامپوزیت با ۴ لایه الیاف شیشه و شبه کربن برای مقایسه کلی با کامپوزیت‌های هیبریدی ساخته شدند. سپس، پایین‌ترین لایه‌ی تقویت کننده از جنس الیاف شیشه و بالاترین لایه الیاف شبه کربن انتخاب شد و دو لایه میانی به منظور بررسی اثر هیبرید کردن به حالت‌های مختلف، لایه‌گذاری شدند [۲۴, ۲۳].

با توجه به مطالعات انجام شده، خواص نهایی کامپوزیت با فرض یکنواخت بودن الیاف و زمینه براساس قانون اختلاط چامیس<sup>۱</sup> در کامپوزیت‌ها به صورت رابطه (۱) است

$$E_c = E_f V_f + E_m (1 - V_f) \quad (1)$$

که در این رابطه  $E$  مدول الاستیک و  $V$  کسر حجمی یا وزنی است. همچنین  $c$ ,  $f$  و  $m$  به ترتیب معرف کامپوزیت، الیاف و زمینه هستند. با توجه به رابطه (۱) هرچه درصد الیاف تقویت کننده به دلیل داشتن خواص مکانیکی بالاتر از زمینه بیشتر باشد، خواص مکانیکی کامپوزیت نیز بیشتر می‌شود. اما اگر درصد الیاف نسبت به زمینه خیلی بالا باشد میزان جذب انرژی کامپوزیت به دلیل جدایش بین لایه‌ها<sup>۲</sup> کاهش می‌یابد. انتخاب نسبت بهینه رزین و الیاف وابسته به جنس الیاف و میزان چسبندگی آن با رزین است. بر این اساس، به دلیل جذب بالای رزین توسط الیاف شبه کربن، نسبت رزین به الیاف ۶۰ به ۴۰ درصد وزنی انتخاب شد [۲۵].



شکل ۳- انواع چیدمان لایه‌ها- لایه روشن: پارچه الیاف شیشه، لایه تیره: الیاف شبه کربن

جدول ۱- مشخصات و کد کامپوزیت‌های ساخته شده

کد نمونه*	تعداد لایه‌های پارچه الیاف شیشه	نسبت الیاف شبه کربن به کل تقویت کننده کامپوزیت (% وزنی)
0S-4G	۴	.
1S-3G	۳	۵۱
2S-2G	۲	۷۴
3S-1G	۱	۸۹
4S-0G	.	۱۰۰

(\*) S=الیاف شبه کربن، G=پارچه الیاف شیشه،  
اعداد قبل از S و G=تعداد لایه‌های S و G در کامپوزیت.

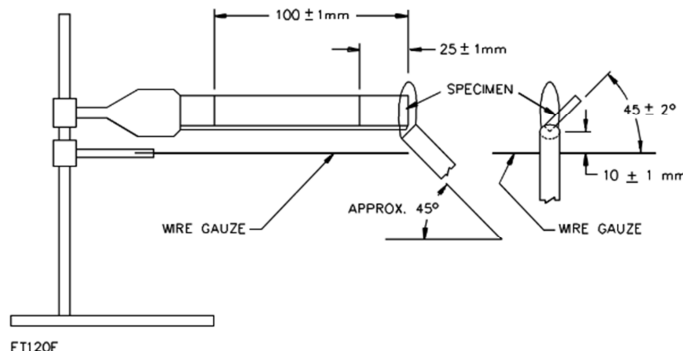
3 Tab

4 Gauge length

5- Horizontal burning

1 Chamis

2 Delamination



شکل ۶- طرحواره آزمون سوختن افقی

جدول ۲ آورده شده است. براساس این دادهها، شکل های ۸ تا ۱۱، به ترتیب نمودارهای استحکام کششی، مدول الاستیک، انرژی جذب شده و کرنش شکست نسبت به درصد الیاف شبه کربن به کل تقویت کننده در کامپوزیت ها را نشان می دهند.

براساس داده های جدول ۲ و نمودار استحکام کششی بر حسب درصد الیاف شبه کربن در کامپوزیت (شکل ۸)، کامپوزیت ۰S-4G و ۰S-4G، به ترتیب با استحکام کششی  $215/91 \text{ MPa}$  و  $41/07 \text{ MPa}$ ، بیشترین و کمترین استحکام کششی را در میان کامپوزیت های هیبریدی تقویت شده با الیاف شبه کربن و الیاف شیشه دارند. با افزایش درصد الیاف شبه کربن نسبت به الیاف شیشه استحکام کششی کامپوزیت های هیبریدی روندی کاهشی دارند به طوری که در کامپوزیت هیبریدی ۳S-1G با استحکام کششی  $81/75 \text{ MPa}$  به کامپوزیت ۱S-3G با استحکام کششی  $120/90 \text{ MPa}$ ، استحکام کششی  $33$  درصد کاهش پیدا کرده است.

علت این نوع رفتار در این نوع کامپوزیت های هیبریدی، استحکام پایین الیاف شبه کربن است. الیاف شبه کربن دارای ساختار پلیمری زنجیره ای هستند که توسط اتصالات عرضی به یکدیگر متصل شده اند. این اتصالات عرضی دارای نیروی پیوند بسیار کمی هستند و اگر در معرض تنفس کششی قرار گیرند، پیوند میان زنجیره های پلیمری می شکند [۱۷]. این بدین معنی است که الیاف شبه کربن به دلیل وجود اتصالات عرضی ضعیف دارای خواص استحکامی پایینی هستند که باعث کاهش استحکام کششی در کامپوزیت های هیبریدی ساخته شده می شود.

شعله به مدت  $5\text{ s}$  با زاویه  $45^\circ$  تا رسیدن به علامت  $25 \text{ mm}$  بر روی نمونه ها قرار داده شد و بعد از گذشت  $5\text{ s}$  شعله از روی نمونه برداشته و زمان سوختن ثبت شد. اگر نمونه ای زودتر از  $30 \text{ s}$  تا خط سوختن همه کامپوزیت ها، اندازه گیری و سرعت سوختن براساس رابطه (۲) محاسبه شد:

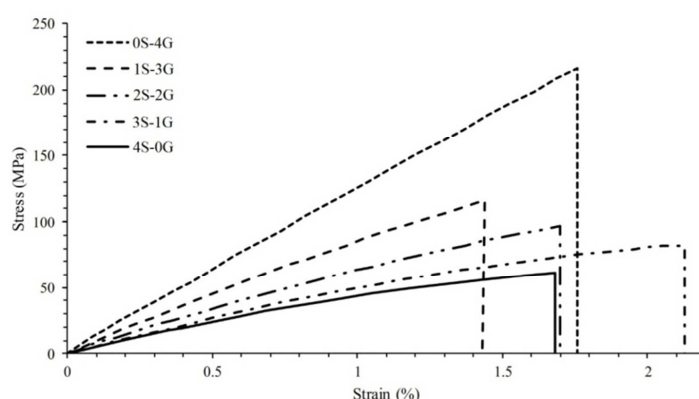
$$(2) V = \frac{60L}{T}$$

که در این رابطه،  $V$  سرعت بر حسب  $\text{mm/min}$  زمان بر حسب  $\text{s}$  و  $L$  طول سوختن بر حسب  $\text{mm}$  هستند. اگر نمونه تا علامت  $100 \text{ mm}$  سوخت، زمان سوختن تا علامت  $100 \text{ mm}$   $100$  ثبت و طول  $L$  را برابر  $75 \text{ mm}$  در نظر گرفته می شود. به منظور دقت بیشتر در داده ها، براساس استاندارد UL-94، آزمون ها برای هر نمونه کامپوزیت ۳ مرتبه انجام شده و میانگین داده ها با  $2 \pm$  درصد انحراف معیار گزارش شد.

### ۳- نتایج و بحث

#### ۱- خواص کششی کامپوزیت ها

شکل ۷ نمودار تنفس-کرنش مربوط به کامپوزیت های ۴ لایه ساخته شده با الیاف شبه کربن و الیاف شیشه با چیدمان های متفاوت را نشان می دهد که براساس استاندارد ASTM D3039 به دست آمده است. داده های مربوط به این نمودار شامل استحکام کششی، مدول الاستیک، کرنش شکست و انرژی جذب شده به صورت خلاصه در

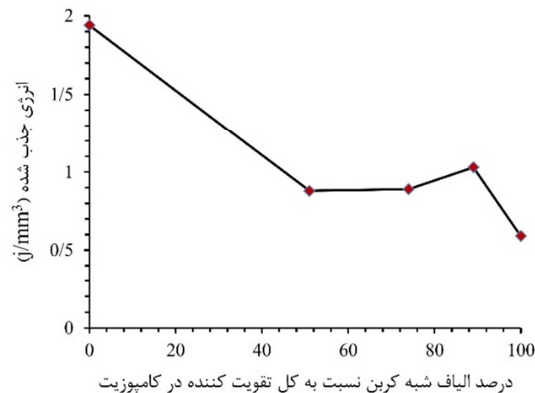


شکل ۷- نمودار تنفس-کرنش کامپوزیت های تقویت شده با الیاف شبه کربن- الیاف شیشه

جدول ۲- خواص کششی کامپوزیت‌های ابوقسی تقویت با پارچه الیاف شیشه به همراه الیاف شبکه کربن

کد نمونه	استحکام کششی (MPa)	مدول الاستیک (GPa)	کرنش شکست (%)	انرژی جذب شده (j/mm <sup>3</sup> )
0S-4G	۲۱۵/۹۱	۱۲/۸۰	۱/۷۶	۱/۹۴
1S-3G	۱۲۰/۹۰	۷/۹۶	۱/۳۴	۰/۸۸
2S-2G	۹۶/۳۶	۶/۷۰	۱/۷۰	۰/۸۹
3S-1G	۸۱/۷۵	۵/۳۰	۲/۱۳	۱/۰۳
4S-0G	۶۱/۰۷	۴/۸۷	۱/۶۸	۰/۵۹

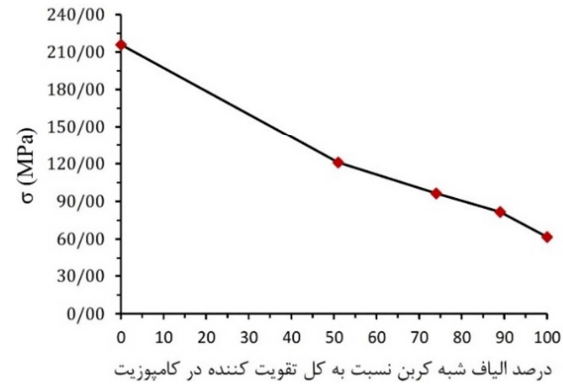
شکست نقش بسیار مهمی در مورد انرژی جذب شده توسط کامپوزیت‌های هیبریدی دارند. با توجه به نتایج به دست آمده از نمودار تنش-کرنش ۱۰، کامپوزیت ۰S-4G و کامپوزیت ۴S-0G با انرژی جذب شده  $1/94 \text{ j/mm}^3$  و  $0/59 \text{ j/mm}^3$ ، به ترتیب بیشترین و کمترین انرژی جذب شده را نسبت به دیگر کامپوزیت‌ها دارند.



شکل ۱۰- تغییرات انرژی جذب شده بر حسب درصد الیاف شبکه کربن به کل الیاف تقویت کننده در کامپوزیت

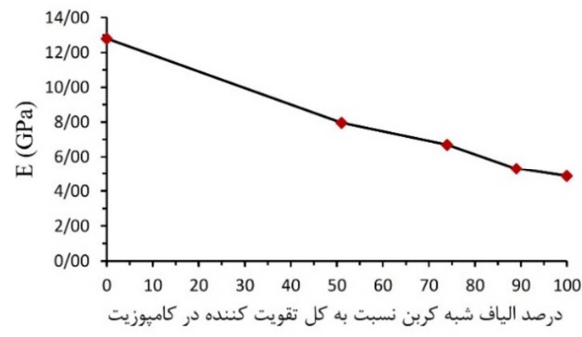
براساس پیش‌بینی‌ها باید کامپوزیت ۰S-4G و کامپوزیت ۴S-0G به ترتیب بیشترین و کمترین کرنش شکست را داشته باشند. اما برهم کنش بین کرنش شکست در الیاف شبکه کربن و الیاف شیشه باعث شده است که کامپوزیت ۱S-3G و کامپوزیت ۳S-1G با کرنش شکست ۰/۳۴ و  $2/13$  دارد و درصد به ترتیب بیشترین و کمترین کرنش را داشته باشند. علت داشتن کمترین کرنش شکست در کامپوزیت ۱S-3G وجود عدم یکنواختی زیاد بین الیاف شبکه کربن و الیاف شیشه است. این عدم یکنواختی در کامپوزیت‌های هیبریدی باعث کاهش کرنش شکست می‌شود که این رفتار در کامپوزیت‌های هیبریدی با عدم یکنواختی مشاهده می‌شود [۱۵]. بر این اساس، این گونه استنباط می‌شود که کامپوزیتی با بیشترین یکنواختی، بهترین خواص را دارد. این بدین معنی است که کامپوزیت ۲S-2G به دلیل داشتن بیشترین یکنواختی باید بیشترین کرنش شکست را داشته باشد. اما نتایج بدین گونه نیست.

در کامپوزیت‌های هیبریدی همیشه داشتن بیشترین یکنواختی به معنی داشتن بهترین خواص نیست. این بدان معنی است که عامل دیگری نیز در کرنش شکست تاثیرگذار است. احتمالاً تاثیر کرنش‌های شکست الیاف شبکه کربن و الیاف شیشه بر روی یکدیگر باعث ایجاد



شکل ۱۱- تغییرات استحکام کششی بر حسب درصد الیاف شبکه کربن به کل الیاف تقویت کننده در کامپوزیت

براساس داده‌های نمودار تنش-کرنش و شکل ۹، کامپوزیت ۰S-4G و کامپوزیت ۴S-0G، به ترتیب با مدول الاستیک  $12/80 \text{ GPa}$  و  $4/87 \text{ GPa}$ ، بیشترین و کمترین مدول الاستیک را در میان کامپوزیت‌های ساخته شده دارند. مدول الاستیک در این نوع کامپوزیت‌ها رفتاری مشابه استحکام کششی دارد و با افزایش درصد الیاف شبکه کربن به الیاف شیشه، مدول الاستیک روندی کاهشی دارد، به طوری که مدول الاستیک در کامپوزیت هیبریدی ۱S-3G با مدول الاستیک  $7/96 \text{ Gpa}$  نسبت به کامپوزیت ۰S-4G با مدول الاستیک  $3/34 \text{ Gpa}$  درصد کاهش پیدا کرده است.

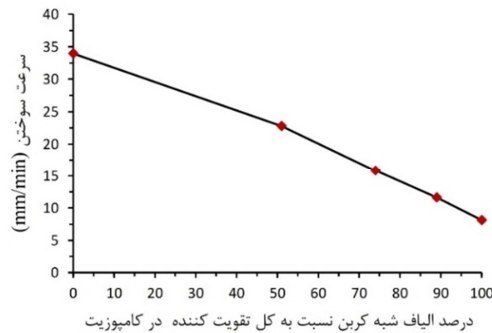


شکل ۱۲- تغییرات مدول الاستیک بر حسب درصد الیاف شبکه کربن به کل الیاف تقویت کننده در کامپوزیت

شکل ۱۰ نمودار انرژی جذب شده توسط کامپوزیت‌های هیبریدی را نشان می‌دهد. انرژی جذب شده از مساحت زیر منحنی در آزمون تنش-کرنش به دست می‌آید. دو عامل استحکام کششی و کرنش

می‌شود و نتایج تحقیقات نشان می‌دهد که ۴۰ درصد ساختار الیاف اکسید شده است [۲۶، ۱۷]. این باعث می‌شود تا الیاف شبه کربن دیگر تمایلی به واکنش با اکسیژن نداشته باشند. به همین دلیل افزایش درصد الیاف شبه کربن نسبت به الیاف شبیه در کامپوزیت، خاصیت مقاومت به سوختن در این نوع کامپوزیت‌های هیریدی را افزایش می‌دهد.

شکل ۱۳ سطح مقطع سوختن کامپوزیت‌های هیریدی تقویت شده با الیاف شبیه و شبه کربن را نشان می‌دهد که در این شکل مرز بین ناحیه سوخته-نسوخته، لایه لایه شدن کامپوزیت‌ها، زغال ناشی از سوختن و لایه‌های کامپوزیت‌ها مشخص شده است. تأثیر دیررسوزی ۲S-2G و ۴S-0G نشان می‌دهد که صورت واضح در کامپوزیت ۲S-2G مشاهده کرد. با توجه به شکل می‌توان نتیجه گرفت که شعله فقط سطح الیاف شبه کربن را سوزانده است و قسمت‌های داخلی الیاف شبه کربن نسوخته است. این عامل باعث دیررسوز شدن کل کامپوزیت می‌شود. زیرا الیاف شبه کربن از انتشار شعله جلوگیری می‌کند.



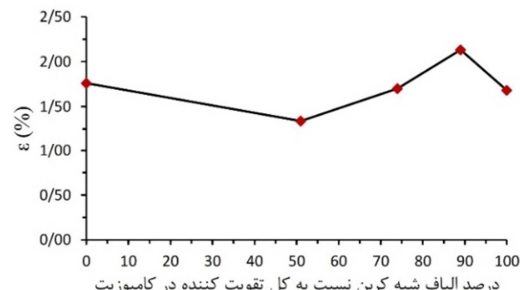
شکل ۱۲- تغییرات سرعت سوختن بر حسب درصد الیاف شبه کربن به کل الیاف تقویت کننده در کامپوزیت



شکل ۱۳- سطح مقطع کامپوزیت‌های هیریدی الیاف شبیه-شبه کربن بعد از آزمون سوختن افقی

کرنش شکست ظاهری در این نوع کامپوزیت‌ها می‌شود که متأثر از نسبت دو الیاف در کامپوزیت هیریدی است. این نسبت در کامپوزیت ۳S-1G به گونه‌ای است که باعث ایجاد بیشترین کرنش شکست ظاهری می‌شود. برای بررسی این رفتار در این نوع کامپوزیت‌های هیریدی نیاز به بررسی بیشتر به خصوص تحقیقاتی در مورد ساختار میکروسکوپی در حین آزمون کشش با سرعت‌های کشش متفاوت و تأثیر نیروها در این نوع کامپوزیت‌ها احساس می‌شود.

در کامپوزیت‌ها به صورت کلی استحکام کششی تاثیر بیشتری نسبت به کرنش در انرژی جذب شده دارد. زیرا کامپوزیت‌ها دارای کرنش شکست کم و ساختار ترد هستند. نتایج در دو کامپوزیت- ۰S-4G و ۴S-0G نشان می‌دهد که استحکام کششی نقش بسیار مهم‌تری نسبت به کرنش شکست دارد. بررسی نتایج به دست آمده نشان داد که انرژی شکست کامپوزیت‌های هیریدی ۳S-1G به ترتیب  $30.88 \text{ J/mm}^3$  و  $10.03 \text{ J/mm}^3$  می‌باشد. همچنین این کامپوزیت‌ها به ترتیب دارای کرنش شکست  $1/34$  و  $1/13$  درصد هستند. با مقایسه این سه کامپوزیت می‌توان فهمید که کرنش شکست و انرژی جذب شده رفتاری مشابه هم دارند. این بدین معنی است که با افزایش درصد الیاف شبه کربن تا  $1/89$  وزنی انرژی جذب شده روندی افزایشی دارد. این موضوع نشان دهنده آن است که در این سه نوع کامپوزیت، کرنش شکست نقش بسیار مهم‌تری نسبت به استحکام کششی دارد که به علت وجود کرنش ظاهری است.



شکل ۱۱- تغییرات کرنش شکست بر حسب درصد الیاف شبه کربن به کل الیاف تقویت کننده در کامپوزیت

### ۲-۳- سرعت سوختن کامپوزیت‌ها

شکل ۱۲ نمودار سرعت سوختن کامپوزیت‌ها را نشان می‌دهد. براساس این داده‌ها، کامپوزیت با چیدمان ۴ لایه پارچه شبیه با سرعت سوختن  $32/93 \text{ mm/min}$  و کامپوزیت با چیدمان ۴ لایه الیاف شبه کربن با سرعت سوختن  $8/13 \text{ mm/min}$  به ترتیب بیشترین و کمترین سرعت سوختن را دارند. نتایج نشان می‌دهد که با افزایش درصد الیاف شبه کربن در کامپوزیت‌های هیریدی سرعت سوختن کاهش می‌یابد به طوریکه در کامپوزیت هیریدی ۱S-3G با سرعت سوختن  $22/79 \text{ mm/min}$  نسبت به کامپوزیت ۳S-1G با سرعت سوختن  $11/62 \text{ mm/min}$ ، سرعت سوختن  $49/62 \text{ mm/min}$  درصد کاهش پیدا کرده است. این بدین معنی است که کامپوزیت در برابر سوختن مقاوم‌تر شده است. این کاهش در سرعت سوختن به خاطر خاصیت مقاومت به آتش الیاف شبه کربن است. زیرا ساختار مولکولی الیاف شبه کربن در حین عملیات پایدارسازی حرارتی الیاف پلی‌اکریلونیتریل اکسید

## ۵-مراجع

- [1] Wang X., Song L., Pornwannchai W., Hu Y., and Kandola B., The effect of graphene presence in flame retarded epoxy resin matrix on the mechanical and flammability properties of glass fiber-reinforced composites, Compos Part A, Vol. 53, pp. 88-96, 2013.
- [2] Hao Y., Liu F., Shi H., Han E., and Wang Z., The influence of ultra-fine glass fibers on the mechanical and anticorrosion properties of epoxy coatings, Prog Org Coat, Vol. 71, No. 2, pp.188–197, 2011.
- [3] Biswas B., and Kandola B. K., The effect of chemically reactive type flame retardant additives on flammability of PES toughened epoxy resin and carbon fiberreinforced composites, Polym Adv Technol, Vol. 22, No. 7, pp.1192–1204, 2011.
- [4] Wypych G., Handbook of polymers, Chem Tec Publishing, Toronto, 2012.
- [5] Martin C., Ronda J. C., and Cadiz V., Novel flame-retardant thermosets: diglycidyl ether of bisphenol A as a curing agent of boron-containing phenolic resins, J Polym Sci Part A, Vol. 44, No. 5, pp. 1701–1710, 2006.
- [6] Perret B., Schartel B., Stoss K., Ciesielski M., Diederichs J., Doring M., et al. Novel DOPO-based flame retardants in high-performance carbon fibre epoxy composites for aviation, Eur Polym J, Vol. 47, No. 5, pp. 1081–1089, 2011.
- [7] Qian L. J., Ye L. J., Xu G. Z., Liu J., and Guo J. Q., The non-halogen flame retardant epoxy resin based on a novel compound with phosphaphenanthrene and cyclotriphosphazene double functional groups, Polym Degrad Stab, Vol. 96, No. 6, pp.1118–1124, 2011.
- [8] Zhang X. H., Liu F., Chen S., and Qi G. R., Novel flame retardant thermosets from nitrogen-containing and phosphorus-containing epoxy resins cured with dicyandiamide, J App Polym Sci, Vol. 106, No. 4, pp. 2391–2397, 2007.
- [9] Mercado L. A., Galia M., and Reina J. A., Silicon-containing flame retardant epoxy resins: synthesis, characterization and properties, Polym Degrad Stab, Vol. 91, No. 11, pp. 2588–2594, 2006.
- [10] Talib A. R. A., Ali A., Badie M. A., Lah N. A. C., and Golestaneh A. F., Developing a hybrid, carbon/glass fiber-reinforced, epoxy composite automotive drive shaft, Mater Design, Vol. 31, No. 1, pp. 514–521, 2010.
- [11] Fiore V., Bella G. D., and Valenza A., Glass-basalt/ epoxy hybrid composites for marine applications, Mater Design, Vol. 32, No. 4, pp. 2091–2099, 2011.
- [12] Valença S. L., Griza S., Oliveira V. G. D., Sussuchi E. M., and Cunha F. G. C. D., Evaluation of the mechanical behavior of epoxy composite reinforced with Kevlar plain fabric and glass/Kevlar hybrid fabric, Compos Part B, Vol. 70, pp. 1-8, 2015.
- [13] Pegoretti A., Fabbri E., Migliaresi C., and Pilati F., Intraly and interply hybrid composites based on E-glass and poly (vinyl alcohol) woven fabrics: tensile and impact properties, Polym Int, Vol. 53, No. 9, pp. 1290-1297, 2004.
- [14] Swolfs Y., Crauwels L., Breda E. V., Gorbatikh L., Hine P., Ward I., et al., Tensile behaviour of intralayer hybrid composites of carbon fibre and self-reinforced polypropylene, Compos Part A, Vol. 59, pp.78-84, 2014.
- [15] Swolfs Y., Gorbatikh L., and Verpoest I., Fibre hybridisation in polymer composites: A review, Compos Part A, Vol. 67, pp. 181-200, 2014.
- [16] Hearle J. W. S., High-performance fibres, Woodhead Publishing Ltd, Florida, 2001.
- [17] Rahaman M. S. A., Ismail A. F., and Mustafa A., A review of heat treatment on polyacrylonitrile fiber, Polym Degrad Stab, Vol. 92, No. 8, pp. 1421–1432, 2007.
- [18] Morgan P., Carbon fibers and their composites, Taylor & Francis Group, London, 2005.
- [19] Xue Y., Liu J., and Liang J., Correlative study of critical reactions in polyacrylonitrile based carbon fiber precursors during thermal-oxidative stabilization, Polym Degrad Stab, Vol. 98, No. 1, pp. 219–229, 2013.
- [20] Sedghi A., Eslami Farsani R., and Shokuhfar A., The effect of commercial polyacrylonitrile fibers characterizations on

با توجه به سطح مقطع کامپوزیت‌های سوخته، رفتار لایه لایه شدن را می‌توان مشاهده کرد. هرچه ساختار کامپوزیت یکنواخت‌تر باشد، لایه لایه شدن کمتر مشاهده می‌شود. دلیل این رفتار وجود تنش‌های پسماند است که در حین ساختن کامپوزیت ایجاد شده و در کامپوزیت باقی مانده است. عامل ایجاد تنش پسماند در کامپوزیت متفاوت بودن ضربی انسپاس طولی، عدم یکنواختی در فصل مشترک لایه‌های کامپوزیت و تنش پسماند شیمیابی ناشی از پخت کامپوزیت است [۲۷]. ایجاد ساختار لایه لایه ممکن است بر رفتار سوختن کامپوزیت تاثیر بگذارد که باید بررسی شود. زیرا لایه لایه شدن در حین سوختن، باعث ایجاد سطح مقطع بیشتر و افزایش سرعت سوختن می‌شود. بنابراین می‌توان نتیجه گرفت که دیرسوزی کامپوزیت‌ها به دو عامل ماده‌ی دیرسوز الیاف شبیه کربن و تنش پسماند در کامپوزیت‌ها، وابسته است.

## ۴-نتیجه گیری

در این تحقیق کامپوزیت‌های هیبریدی زمینه اپوکسی تقویت شده با الیاف شیشه و الیاف شبیه کربن با لایه‌گذاری‌های متفاوت ساخته شدند و خواص کششی و سرعت سوختن این کامپوزیت‌ها بررسی شد.

نتایج به دست آمده به صورت خلاصه در زیر آورده شده است:

- ۱- کامپوزیت‌های تقویت شده با ۴ لایه الیاف شیشه و ۴ لایه الیاف شبیه کربن با استحکام کششی  $125/91 \text{ MPa}$  و  $61/07 \text{ MPa}$ , به ترتیب بیشترین و کمترین استحکام کششی را داشتند. با افزایش درصد الیاف شبیه کربن نسبت به الیاف شیشه در کامپوزیت‌های هیبریدی، استحکام کششی  $33 \text{ MPa}$  درصد کاهش یافت.
- ۲- مدول الاستیک رفتاری مشابه استحکام کششی داشت و کامپوزیت‌های تقویت شده با ۴ لایه الیاف شیشه و ۴ لایه الیاف شبیه کربن با مدول الاستیک  $128/0 \text{ GPa}$  و  $4/87 \text{ GPa}$ , به ترتیب بیشترین و کمترین مدول الاستیک را داشتند. همچنین با افزایش درصد الیاف شبیه کربن نسبت به الیاف شیشه در کامپوزیت‌های هیبریدی، استحکام کششی  $33/4 \text{ MPa}$  درصد کاهش یافت.
- ۳- کامپوزیت‌های تقویت شده با ۳ لایه الیاف شیشه و ۳ لایه الیاف شبیه کربن با کرنش شکست  $1/34$  و  $2/13 \text{ mm}$  درصد به ترتیب کمترین و بیشترین کرنش شکست را داشتند.
- ۴- کامپوزیت‌های تقویت شده با ۴ لایه الیاف شیشه و ۴ لایه الیاف شبیه کربن با انرژی جذب شده  $1/94 \text{ J/mm}^3$  و  $0/59 \text{ J/mm}^3$ , به ترتیب بیشترین و کمترین انرژی جذب را داشتند. در دیگر کامپوزیت‌ها کرنش نقش مهم‌تری نسبت به استحکام کششی در انرژی جذب شده داشت.
- ۵- کامپوزیت‌های تقویت شده با ۴ لایه الیاف شیشه و ۴ لایه الیاف شبیه کربن با سرعت سوختن  $33/93 \text{ mm/min}$  و  $8/13 \text{ mm/min}$ , به ترتیب کمترین و بیشترین مقاومت به سوختن را داشتند. با افزایش درصد الیاف شبیه کربن نسبت به الیاف شیشه مقاومت به سوختن افزایش یافت.
- ۶- دو عامل ماده‌ی دیرسوز الیاف شبیه کربن و انرژی پسماند نقش مهمی در دیرسوزی کامپوزیت‌های هیبریدی الیاف شیشه- شبیه کربن داشتند.

- the produced carbon fibers properties, *J mater process technol*, Vol. 198, No. 1-3, pp. 60-67, 2008.
- [21] Arbab S., and Zeinolebadi A., A procedure for precise determination of thermal stabilization reactions in carbon fiber precursors, *Polym Degrad Stab*, Vol. 98, No. 12, pp. 2537-2545, 2013.
- [22] Kalashnik A.T., Panichkina O. N., Rudinskaya G.Y., and Serkov A.T., Shrinkage mechanism in thermo oxidative stabilization of acrylic fibers, *Fiber chem*, Vol. 33, No. 2, pp. 132-139, 2001.
- [23] Agrawal G., Patnaik A., Sharma R K., Agrawal J., Effect of stacking sequence on physical, mechanical and tribological properties of glass–carbon hybrid composites, *Friction* , Vol. 2, No. 4, pp. 354-364, 2014.
- [24] Ary Subagia I. D. G., Kim Y., Tijing L. D., Kim C. S., Shon H. K., Effect of stacking sequence on the flexural properties of hybrid composites reinforced with carbon and basalt fibers, *Compos Part B*, Vol. 58, pp. 251-258, 2014.
- [25] Fu Y., Zhang P., Yang F., Interlaminar stress distribution of composite laminated plates with functionally graded fiber volume fraction, *Mater Design*, Vol. 31, No. 6, pp. 2904-2915, 2010.
- [26] Frank E., Hermanutz F., and Buchmeiser M. R., Carbon fibers: precursors, manufacturing, and properties, *Macromol Mater Eng*, Vol. 297, No. 6, pp. 493-501, 2012.
- [27] Shokrieh M. M., *Residual stresses in composite materials*, Woodhead Publishing, Cambridge, 2014.